

بررسی عوامل مؤثر بر پوشش آلیاژی بی‌شکل و نانوبلور نیکل - فسفر با استفاده از روش طراحی آزمون تاگوچی و بررسی رفتار حرارتی آن*

لاله رضازاده^(۱)مرتضی زند رحیمی^(۲)

چکیده

در این تحقیق، پوشش آلیاژی نیکل-فسفر با روش رسوب‌دهی الکتریکی به روش جریان مستقیم بر روی فولاد زنگ‌نزن ۳۰۴ ایجاد شد. با استفاده از روش طراحی آزمون تاگوچی، تأثیر چگالی جریان، غلظت اسید فسفرو، زمان و pH بر میزان فسفر پوشش بررسی شد. به‌منظور تعیین فازهای موجود و اندازه دانه از روش آنالیز تفرق پرتوی X ، بررسی ریزساختار و مرفولوژی سطح پوشش از میکروسکپ الکترونی SEM ، تعیین اندازه ذرات بلورین در پوشش از میکروسکپ الکترونی TEM و نیز، برای بررسی رفتار حرارتی از روش DSC استفاده شد. نتایج نشان دادند که دمای تغییر ساختار در پوشش محتوی ۲/۵۱ درصد وزنی فسفر، برابر با $409.1^\circ C$ می‌باشد، و این نشان از پایداری بالای حرارتی پوشش است. این دما با افزایش میزان فسفر به $328^\circ C$ رسید. افزون بر این، گرمای آزاد شده حین انجام فرایند تبلور با افزایش میزان فسفر، روند صعودی از خود نشان داد.

واژه‌های کلیدی پوشش آلیاژی نیکل-فسفر، روش DSC ، بی‌شکل (آمورف)، رسوب‌دهی الکتریکی، تاگوچی

An Investigation into the Effects of Controlling Parameters on Amorphous-Nanocrystalline Ni-P Coating using Taguchi Method and Evaluation of its Thermal Behaviour

L. Rezazadeh

M. Zandrahimi

Abstract

In this study, nickel-phosphorus coating was prepared by electrodeposition technique on the 304 stainless steel substrate. The effects of current density, phosphorous acid concentration, time and pH on the phosphorous content was investigated using Taguchi method. A uniform amorphous-nanocrystalline structure (Ni-12%P) was obtained. SEM, EDS, TEM and XRD were used in order to study the surface morphology, chemical composition and phase structure. Based on the DSC results, the thermal behaviour of coatings with different phosphorus contents was analyzed and the relationship between the structure and temperature was determined. The results showed that at the temperature of 409.1 °C, the structure of coating (Ni-2.51%P) changed from amorphous to crystalline with a greater thermal stability. The transformation temperature decreased to 328° C by an increase in the phosphorous content.

Key Words Ni-P alloy coating, DSC method, Amorphous, Electrodeposition, Taguchi.

* نسخه‌ی نخست مقاله در تاریخ ۹۱/۵/۲۲ و نسخه‌ی پایانی آن در تاریخ ۹۱/۱۲/۲۶ به دفتر نشریه رسیده است.

(۱) کارشناس ارشد مهندسی متالورژی، دانشکده فنی و مهندسی، دانشگاه شهید باهنر کرمان

(۲) نویسنده‌ی مسوول: استاد گروه مهندسی متالورژی، دانشکده فنی و مهندسی، دانشگاه شهید باهنر کرمان

مقدمه

ایجاد پوشش‌های فلزی (آلیاژی) از مهم‌ترین فرایندهای تکمیلی برای مواد مهندسی است. این پوشش‌ها برای هدف‌های مختلفی استفاده می‌شوند. این فرایندها از صدها سال پیش برای مقاوم ساختن فلزات در برابر خوردگی، سایش و نیز، زیبایی سطوح استفاده شده‌اند. امروزه آب‌کاری الکتریکی به‌عنوان روشی عملی و اقتصادی در تولید پوشش‌های نانو، توجه بسیاری از محققین را به خود جلب کرده است [1].

تحقیقات انجام شده در زمینه توسعه پوشش‌های مقاوم در برابر محیط‌های خوردنده بر روی زیرلایه‌های فولادی نشان می‌دهند که افزودن جزئی به‌عنوان مانع هیدروژنی به ترکیب پوشش، از تشکیل عیب‌هایی مانند ترک هیدروژنی و تاول جلوگیری می‌شود و خواص پوشش مانند مقاومت به خوردگی و سایش، بهبود می‌یابد [2]. کنترل آسان متغیرهای حمام آب‌کاری الکتریکی مانند دما، زمان و چگالی جریان و نیز، تأثیر آن‌ها بر میزان فسفر پوشش، باعث ایجاد خواص عالی از جمله سختی بالا، خصوصیات مغناطیسی، مقاومت به سایش و مقاومت به خوردگی خوب در پوشش نیکل-فسفر می‌شود و کاربرد آن را در صنایعی هم‌چون خودروسازی، چاپ، پوشش‌دهی غلتک‌ها، روز به روز بیش‌تر کرده است [3-9].

با توجه به تغییر ساختار پوشش الکتریکی نیکل-فسفر در فرایندهای دما بالا مانند جوش‌کاری، امروزه توجه بسیاری از محققان به این موضوع جلب شده است [10]. بسیاری از خواص پوشش‌های نیکل-فسفر مانند مقاومت به سایش، خوردگی و سختی را می‌توان با عملیات حرارتی حین فرایند تبلور، بهبود بخشید. معمولاً این استحاله با کاهش اتم‌های نیکل و رسوب ترکیب بین فلزی فسفید نیکل (Ni_3P) از فاز بی‌شکل (amorphous) همراه است [11]. در پوشش‌هایی با درصد کم فسفر، پایداری حرارتی در دماهای

بالا (450°C) بیش‌تر است، در حالی‌که با افزایش درصد فسفر در پوشش در دمای پایین‌تر (350°C)، فرایند تبلور سریع‌تر رخ می‌دهد و با تشکیل فازهای بلوری نیکل و فسفید نیکل، خواص پوشش بهبود می‌یابد. از طرف دیگر، رشد و درشت شدن دانه‌های نیکل و فسفید نیکل باعث افت خواص مکانیکی پوشش می‌شود. بنابراین در بسیاری از موارد، از عامل سوئی نظیر مس، تنگستن، مولیبدن و روی در ترکیب پوشش برای بهبود خواص استفاده می‌شود [12]. تحقیقات زیادی بر روی نحوه‌ی ایجاد پوشش نیکل-فسفر و خواص خوردگی و سایش آن انجام شده است، اما کاری زیادی در زمینه‌ی ارتباط بین ریزساختار، مقدار فسفر و چگونگی تغییر فاز در دماهای بالا انجام نشده است. در این تحقیق، پوشش الکتریکی نیکل-فسفر با درصدهای متفاوت فسفر تهیه شد و رفتار حرارتی آن به‌منظور تعیین دمای تغییر ساختار، بررسی شد.

مواد و روش تحقیق

فولاد زنگ‌نزن ۳۰۴ به‌عنوان فلز پایه برای ایجاد پوشش الکتریکی نیکل-فسفر انتخاب شد. ترکیب شیمیایی این فولاد که به‌روش EDS تعیین شد، در جدول (۱) آورده شده است. از نمونه‌هایی به‌ابعاد ($1\text{cm} \times 1\text{cm}$) به‌عنوان زیر لایه برای پوشش‌دهی و ورق نیکل با خلوص بالا (۹۹ درصد) به‌عنوان آند استفاده شد. سطح آند تقریباً دو برابر سطح کاتد در نظر گرفته شد تا از بروز مشکلاتی پیرامون پلاریزاسیون آندی جلوگیری شود. عملیات آماده‌سازی قبل از آب‌کاری به‌این صورت انجام شد که ابتدا صفحه‌های فولادی با سنباده‌های با درجه‌ی ۸۰۰، ۱۲۰۰، ۲۵۰۰ و ۵۰۰۰ پولیش شدند و سپس، عملیات چربی‌گیری با استفاده از آب و صابون به‌مدت زمان ۱۰ دقیقه در دمای 70°C صورت گرفت. نمونه‌ها پس از شستشو با آب مقطر، در محلول استون به‌مدت زمان ۵ دقیقه

جدول ۳ ترکیب شیمیایی حمام آب کاری نیکل- فسفر

ترکیب محلول آب کاری (g/l)	متغیرهای آب کاری الکتریکی
NiSO ₄ .6H ₂ O	۱۳۰
NiCl ₂ .6H ₂ O	۱۶
H ₃ BO ₃	۳۰
H ₃ PO ₃	۰/۵-۵۰
NaC ₁₂ H ₂₅ SO ₄ *	۰/۰۵
C ₇ H ₅ NO ₃ S**	۰/۱

* سدیم دودسیل سولفات (سورفکتانت)، ** ساخارین

pH الکترولیت با افزودن اسید سولفوریک و هیدروکسید سدیم ۳ مولار، در حد ۱/۵ تنظیم شد. از دستگاه پراش سنج پرتوی ایکس (XRD, Philips) برای تعیین ساختار و نوع فازهای موجود در پوشش استفاده شد. اندازه‌ی دانه‌ها توسط پرتوی ایکس (Cu- 1.05\AA , $\lambda = K\alpha$) و مطابق با معادله‌ی ویلیامسون- هال محاسبه شد. مرفولوژی سطح پوشش‌ها و اندازه‌ی دانه‌ی فازهای بلوری به ترتیب توسط میکروسکپ الکترونی روبشی (SEM, Tescan) و میکروسکپ الکترونی عبوری (TEM, LEO 902) بررسی شد. ترکیب شیمیایی پوشش‌ها نیز توسط آنالیز EDS تعیین شد. برای بررسی دمای تغییر ساختار در پوشش‌ها به ازای مقادیر مختلف فسفر، از دستگاه آنالیز حرارتی هم‌زمان (STA, Netzsch) استفاده شد. نمونه‌ها با سرعت $5\text{ }^{\circ}\text{C}/\text{min}$ از دمای $100\text{ }^{\circ}\text{C}$ تا $900\text{ }^{\circ}\text{C}$ حرارت داده شدند. بوته از جنس Al_2O_3 بود و محیط کوره گاز آرگون در نظر گرفته شد تا از اکسایش پوشش در فرایند گرمایش جلوگیری شود [13-14].

نتایج و بحث

بررسی ریزساختار. نتایج به دست آمده از مدل تاگوچی در نرم افزار مینی تب نشان دادند که در میان عوامل به کار گرفته شده در جدول (۲)، غلظت اسید

درون دستگاه آلتراسونیک قرار گرفتند و پس از آن، مجدداً با آب مقطر شسته شدند و در نهایت، به منظور فعال سازی سطح، در محلول اسید سولفوریک ۱۰ درصد به مدت زمان ۴۵ ثانیه حگاک‌ی و سپس با آب مقطر شسته شدند.

جدول ۱ ترکیب شیمیایی فولاد زنگ‌نزن 304

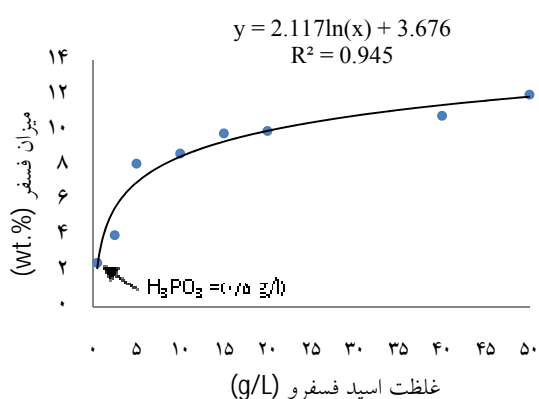
نام عنصر	درصد وزنی
آهن	۷۱/۴۱
نیکل	۷/۹۶
سیلیسیم	۰/۷۳
کروم	۱۸/۲۴
منگنز	۱/۶۶

بعد از طی مراحل آماده سازی، نمونه‌ها به منظور جلوگیری از تشکیل لایه‌ی اکسیدی بر روی سطح آن‌ها بی‌درنگ در محلول الکترولیت قرار داده شدند. برای رسیدن به شرایط بهینه در ایجاد پوشش نیکل- فسفر، از روش طراحی آزمون تاگوچی در نرم افزار مینی تب (Minitab) استفاده شد. برای این منظور، چهار عامل در سه سطح به صورت یک ماتریس 3×3 (L9) مطابق با جدول (۲)، بررسی شد. سپس، عاملی که بیشترین تأثیر را بر میزان فسفر داشت، به عنوان متغیر اصلی برای بررسی ریزساختار در نظر گرفته شد. با توجه به نتایج به دست آمده، ترکیب حمام اصلی برای ایجاد پوشش بهینه به دست آمد (جدول ۳).

جدول ۲ عوامل و سطوح در نظر گرفته شده در مدل تاگوچی

عامل	سطح ۱	سطح ۲	سطح ۳
چگالی جریان (A/cm^2)	۰/۰۲	۰/۰۴	۰/۰۶
زمان (min)	۳۰	۴۵	۵۰
اسید فسفر (gr/lit)	۱۰	۲۰	۴۰
pH	۱	۱/۵	۲/۵

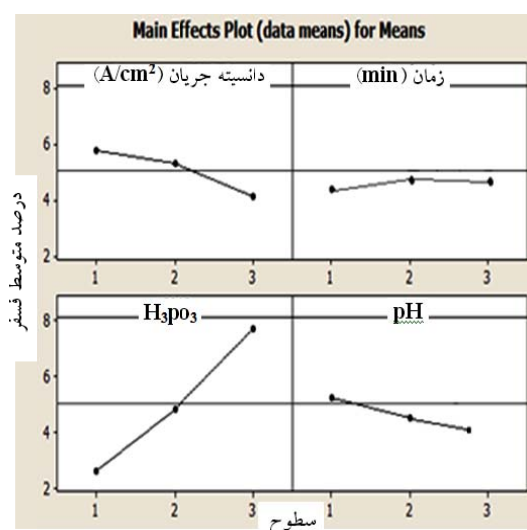
افزایش غلظت اسید فسفرو در ترکیب حمام آب‌کاری، مقدار فسفر به صورت لگاریتمی افزایش می‌یابد. این افزایش در مراحل اولیه شیب تندتری دارد، اما زمانی که غلظت اسید فسفرو از مقدار ۱۵ گرم بر لیتر تجاوز می‌کند، افزایش چشم‌گیری در میزان فسفر دیده نمی‌شود. این رفتار به دلیل جذب یون‌های $H_2PO_3^-$ بر روی سطح پوشش می‌باشد که به حالت اشباع رسیده‌اند [15].



شکل ۲ تأثیر غلظت اسید فسفرو بر درصد وزنی فسفر در پوشش الکتریکی نیکل-فسفر

با استفاده از معادله‌ی ویلیامسون-هال و آنالیز XRD، اندازه‌ی دانه‌ی بلورهای نیکل با ۲/۵۱، ۴/۰۹، ۱۰/۸۸، ۱۲/۸۶ و ۱۳/۳۶ درصد وزنی فسفر، به ترتیب برابر با ۶۹/۳۲، ۲۸/۳۶، ۱۳/۸۶، ۱۱/۵۵ و ۱۲/۰۱ نانومتر به دست آمد که نشان‌دهنده‌ی نانو بودن ساختار پوشش می‌باشد. افزودن ساخارین در ترکیب حمام آب‌کاری باعث افزایش مراکز جوانه‌زنی و نیز، افزایش سرعت جوانه‌زنی و در نتیجه‌ی آن، کاهش اندازه‌ی دانه می‌شود [16]. همان‌گونه که در شکل (۳) مشاهده می‌شود، با افزایش مقدار فسفر اندازه‌ی متوسط دانه‌ها کاهش می‌یابد. این کاهش به‌ازای درصد وزنی کم فسفر، شیب تندتری دارد و زمانی که میزان فسفر در پوشش از ۱۰/۸۸ درصد وزنی بالاتر می‌رود، اندازه‌ی دانه‌ها تقریباً ثابت باقی می‌ماند.

فسفر بیش‌ترین تأثیر را بر میزان فسفر دارد (شکل ۱). همان‌طور که در شکل (۱) دیده می‌شود، بیش‌ترین شیب نمودار مربوط به غلظت اسید فسفرو است و زمان آب‌کاری کم‌ترین شیب را دارد. افزون بر این، با افزایش چگالی جریان از سطح ۱ به ۳، نمودار روند نزولی دارد و در مقایسه با دو نمودار تأثیرات مربوط به زمان و pH بر درصد وزنی فسفر در پوشش، این شیب کمی تندتر است.

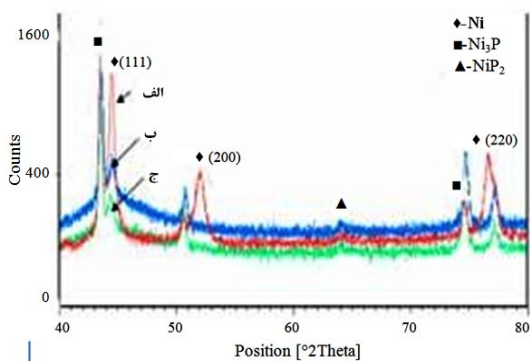


شکل ۱ تأثیرات اصلی عوامل غلظت اسید فسفرو، چگالی جریان، زمان و pH در سه سطح، بر درصد وزنی فسفر

بسیاری از خواص پوشش‌های الکتریکی نیکل-فسفر به ساختار آن‌ها وابسته‌اند، و ساختار پوشش نیز به درصد فسفر رسوب داده مربوط است [۳]. با توجه به درصد فسفر موجود در پوشش، می‌توان ساختاری بی‌شکل و یا مخلوطی از بی‌شکل و نانوبلور ایجاد کرد. به این ترتیب، با توجه به نتایج تاگوچی در تعیین مؤثرترین عامل برای درصد وزنی فسفر در پوشش و با در نظر گرفتن غلظت اسید فسفرو بین ۰/۵ تا ۵۰ گرم بر لیتر، ساختار پوشش بررسی شد. همان‌طور که در شکل (۲) مشاهده می‌شود، نتایج از ضریب همبستگی بالایی ($R^2=0/945$) برخوردارند. با

شده و پیک مربوط به صفحه‌های (۱۱۱) نیکل پهن‌تر شده است. به‌علت شعاع‌های اتمی متفاوت، افزودن شدن فسفر به پوشش باعث بی‌نظمی در شبکه‌ی بلوری نیکل شده است و با افزایش درصد فسفر، ساختار ناپایدار شده و فاز بی‌شکل تشکیل شده است.

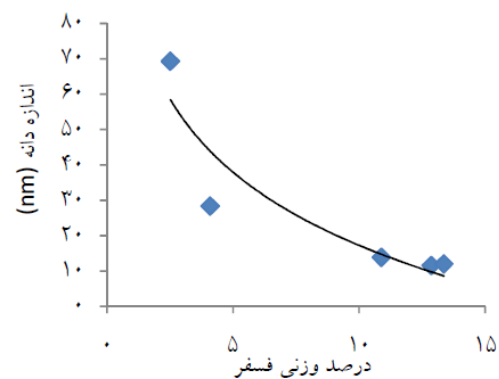
افزون بر این، با افزایش میزان فسفر از شدت پیک‌های (۱۱۱)، (۲۰۰) و (۲۲۰) کاسته شده است. ساختار پوشش نیکل-فسفر دارای ترکیب‌های واسطه‌ی دیگری نظیر NiP_2 و NiP_3 می‌باشد که در الگوی پراش نشان‌دهنده‌ی هم‌زیستی ساختار ریزبلور و بی‌شکل در این پوشش است.



شکل ۵ آنالیز XRD از پوشش الکتریکی نیکل-فسفر،

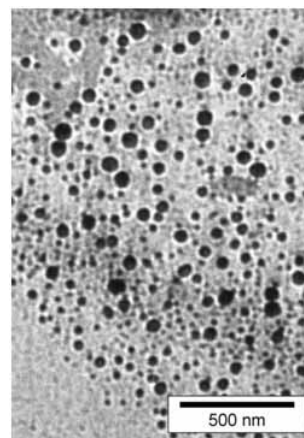
الف) ۲/۵۱ درصد فسفر، ب) ۱۰/۸۸ درصد فسفر، و پ) ۱۲/۸۶ درصد فسفر

در شکل (۶)، تصویرهای SEM از سطح پوشش‌های به‌دست آمده با درصد‌های متفاوت فسفر دیده می‌شوند. همان‌طور که در این شکل مشاهده می‌شود، ساختار در پوشش با ۲/۵۱ درصد فسفر کروی (Nodular)، پیوسته و پُربلور است (الف) و با افزایش میزان فسفر و به‌هم پیوستن نقطه‌های کروی، ساختاری آینه‌ای شکل و متشکل از بی‌شکل و بلورین تشکیل شده است (ب و پ). افزون بر این، با افزایش میزان فسفر و کاهش اندازه‌ی دانه، ساختار پوشش به مخلوط بی‌شکل و نانوبلور نزدیک می‌شود (ت).



شکل ۳ تأثیر درصد فسفر بر اندازه‌ی دانه

برای بررسی اندازه‌ی دانه (ذرات بلوری) در پوشش الکتریکی نیکل-فسفر با روش TEM، نمونه‌ای با ۲/۵۱ درصد وزنی فسفر انتخاب شد. در شکل (۴)، زمینه‌ی روشن، فاز بی‌شکل است و نقطه‌های تیره فازهای نانوبلور، نظیر بلورهای نیکل و ترکیبات واسطه‌ی NiP_2 و Ni_3P هستند. این ذرات بلوری در زمینه‌ی بی‌شکل فرو رفته‌اند. با افزایش میزان فسفر در پوشش، از درصد فازهای بلوری کاسته شده و به درصد فاز بی‌شکل (زمینه) افزوده شده است. افزون بر این، اندازه‌ی ذرات بلوری نیکل در محدوده‌ی ۳۹ تا ۸۲ نانومتر قرار دارد.

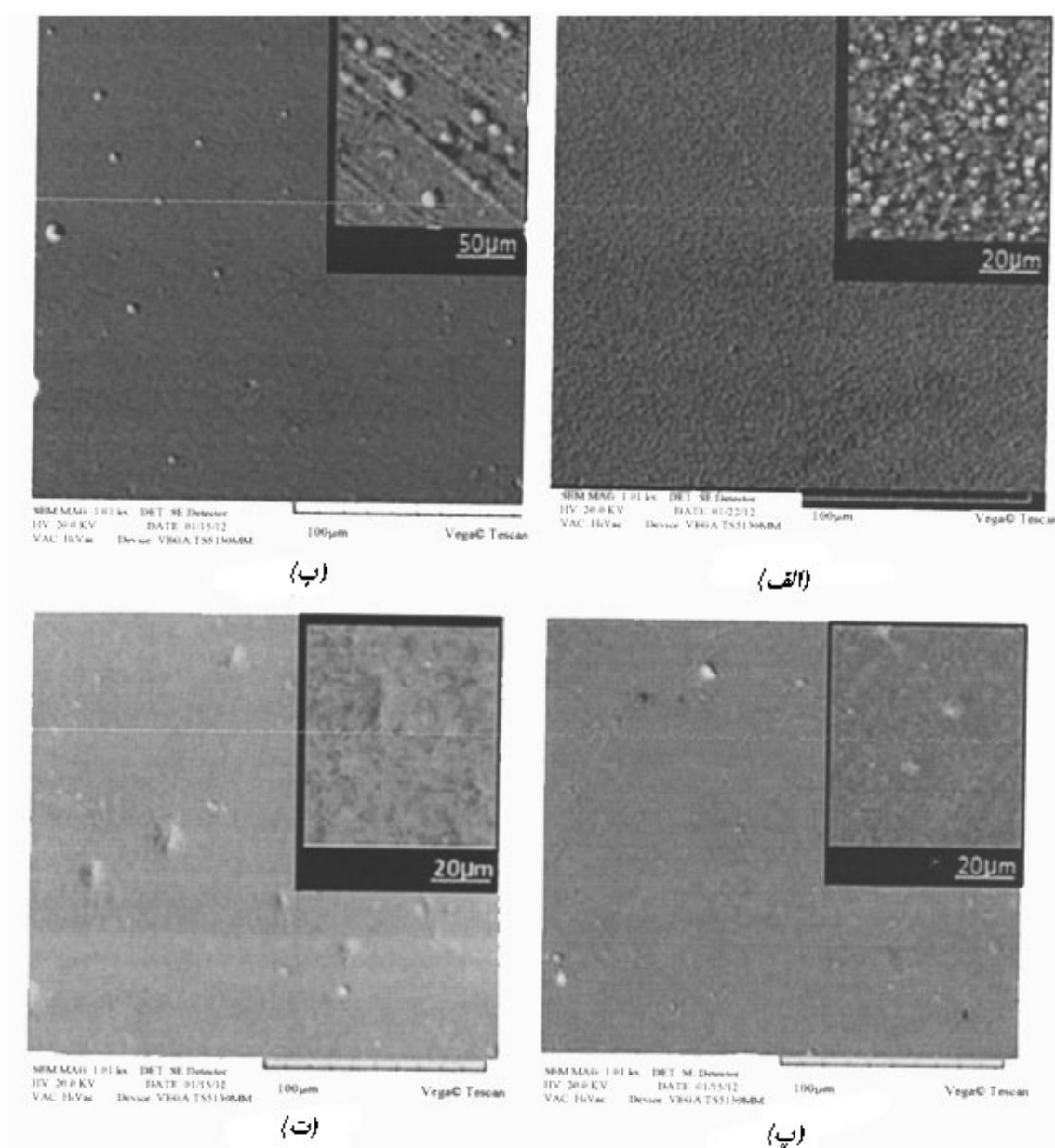


شکل ۴ تصویر TEM از پوشش الکتریکی نیکل با ۲/۵۱ درصد فسفر

بررسی ساختار بلوری پوشش نیکل-فسفر با استفاده از الگوی پراش در شکل (۵) نشان می‌دهد که با افزایش میزان فسفر، از خاصیت بلورینگی کاسته

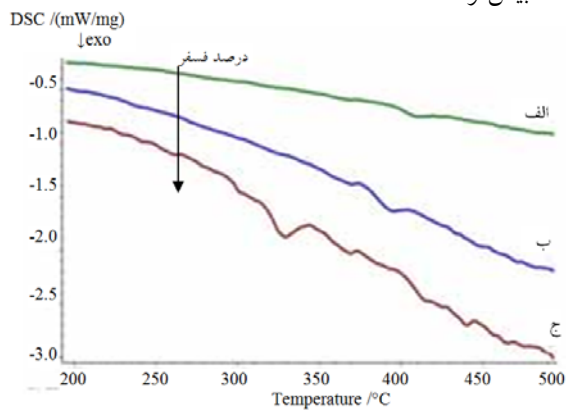
مرکزیت اتم فسفر که توسط اتم‌های نیکل احاطه شده‌اند، بسیار آسان است. نشست هم‌زمان فسفر در طی فرایند آب‌کاری، نظم پودمانه‌ی اتم‌های نیکل را از بین می‌برد، به گونه‌ای که هر چه مقدار فسفر بیشتر شود، این بی‌نظمی بیشتر شده و ساختار به بی‌شکل نزدیک‌تر می‌شود [۱۵].

گزارش شده است که در مقادیر فسفر بالاتر از ۲۰ درصد، ساختار کاملاً بی‌شکل می‌شود [۱۷]. بی‌شکل بودن تابعی از میزان فسفر رسوب کرده در پوشش است. فسفر و نیکل هر دو دارای میل ترکیب شیمیایی قوی هستند و بنابراین، تشکیل توده‌هایی متراکم با



شکل ۶ تصاویرهای SEM از سطح پوشش الکتریکی نیکل- فسفر در مقادیر مختلف فسفر، (الف) ۲/۵۱ درصد فسفر، (ب) ۴/۰۹ درصد فسفر، (ج) ۱۰/۸۸ درصد فسفر، و (د) ۱۲/۸۶ درصد فسفر

بالا، بیش تر شده است.



شکل (۷) نمودار DSC مربوط به پوشش الکتریکی نیکل - فسفر به صورت تابعی از میزان فسفر، الف) ۱/۹۱ درصد فسفر، ب) ۴/۰۹ درصد فسفر، و پ) ۱۲/۸۶ درصد فسفر

جدول (۴) دمای تغییر فاز در پوشش الکتریکی نیکل - فسفر

تغییر انتالپی (ΔH , J/g)	دما (°C)		درصد وزنی فسفر
	شروع (Onset)	پیک (Peak)	
-۷/۷۴	۳۹۱/۲	۴۰۹/۱	۱/۹۱
-۱۸/۵۵	۳۷۰/۸	۳۹۳/۹	۴/۰۹
-۳۸/۶۸	۳۱۰/۷	۳۲۸/۱	۱۲/۸۶

در پوشش‌های با درصد بالای فسفر، رشد قابل توجه دانه‌ها بعد از تشکیل فاز بلورین Ni_3P رخ می‌دهد. با توجه به آنالیز DSC، پایداری حرارتی در پوشش‌های دارای فسفر کم‌تر (۲ درصد وزنی) بیش‌تر است. به‌عبارت دیگر، انرژی فعال‌سازی بیش‌تری در این حالت نیاز است تا امکان جوانه‌زنی فاز Ni_3P فراهم شود. تغییرات انتالپی حین فرایند تبلور پوشش نیکل - فسفر با میزان‌های فسفر ۱/۹۱، ۴/۰۹ و ۱۲/۸۶ درصد وزنی صعودی است. مقادیر آن به‌ترتیب برابر با ۷/۷، ۱۸/۵ و ۳۸/۷ ژول بر گرم می‌باشد. مقایسه‌ی نتایج مربوط به محدوده‌ی دمای تغییر فاز در پوشش‌های الکتریکی نیکل - فسفر با نتایج به‌دست آمده توسط سایر محققان نشان می‌دهد که این دو سری نتایج تا حدودی یک‌دیگر را تأیید کرده و اختلاف ناچیز

بررسی رفتار حرارتی. اطلاعات در مورد

تغییرات فازی در پوشش‌ها را می‌توان با استفاده از روش کالری متری روبشی تفاضلی (DSC) بررسی کرد. پیک‌های گرمازا در نمودارهای شکل (۷) نشان‌دهنده‌ی دمای تغییر فاز می‌باشند. دمای شروع تغییر فاز و تغییرات انتالپی برای سه پوشش با درصد‌های متفاوت فسفر، در جدول (۴) ارائه شده‌اند.

هر چه درصد فاز بی‌شکل در ساختار کم‌تر و فاز نانوبلور بیش‌تر باشد (شکل ۶- الف)، پیک گرمازای ناشی از فرایند تبلور پهن‌تر می‌شود. در ادامه، با افزایش مقدار فسفر پیک تغییر ساختار تیزتر می‌شود (نمودارهای ب و پ). در پوشش با درصد بالای فسفر (نمودار پ)، پیک‌های گرمازا در دماهای $238/9^\circ C$ ، $261/4^\circ C$ و $285/8^\circ C$ ، مربوط به آزادسازی عیب‌ها در ساختار و رسوب فازهای واسطه‌ی $Ni_{12}P_5$ ، Ni_5P_2 و Ni_3P می‌باشند و پیک اصلی در دمای $328/1^\circ C$ مربوط به تشکیل رسوب‌های پایدار Ni_3P و Ni می‌باشد [18].

وجود پیک‌های گرمازا در نمودار DSC

نشان‌دهنده‌ی شکل‌گیری و حرکت مرحله‌ای اتم‌ها با نظم کم دامنه برای تغییر ساختار از بی‌شکل به بلورین است. در فرایندهای عملیات حرارتی در دماهای بالا، فازهای نیمه‌پایدار Ni_5P_2 و $Ni_{12}P_5$ به‌صورت فاز Ni_3P در ساختار دیده می‌شوند. با بالا رفتن دما، ابتدا دانه‌های نیکل در زمینه‌ی بی‌شکل رسوب می‌کنند و سپس، با تشکیل ترکیب واسطه‌ی Ni_3P ، تغییر ساختار رخ می‌دهد. دمای تشکیل ترکیب واسطه‌ی Ni_3P در طول فرایند پوشش‌دهی، به میزان فسفر در پوشش بستگی دارد.

همان‌طور که در جدول (۴) مشاهده می‌شود، تشکیل این رسوب در پوشش‌های با میزان بالای فسفر زودتر اتفاق افتاده است. با کاهش میزان فسفر، تشکیل فاز بلورین به‌تأخیر می‌افتد. افزون بر این، با کاهش میزان فسفر از شدت پیک‌ها کاسته شده است و تمایل به تجزیه‌ی ساختار ناپایدار بی‌شکل به بلورین در دماهای

وزنی، به ساختاری آینه‌ای مانند متشکل از بی‌شکل و نانوبلور نزدیک می‌شود.

۵- با توجه به الگوی پراش، بررسی اندازه‌ی دانه‌ها نشان داد که با افزایش میزان فسفر از ۲/۵۱ به ۱۳/۳۶ درصد وزنی در پوشش، اندازه‌ی دانه‌ها از ۶۹/۳۲ به ۱۲ نانومتر کاهش می‌یابد. افزون بر این، ترکیب‌های بین فلزی Ni_3P_3 ، Ni_5P_2 و NiP_2 نیز در پوشش دیده شد.

۶- بررسی تصویرهای میکروسکپ (TEM) از پوشش محتوی ۲/۵۱ درصد وزنی فسفر نشان داد که اندازه‌ی فازهای بلورین (نیکل و فسفید نیکل) در محدوده‌ی ۳۹ تا ۸۲ نانومتر می‌باشد، و این با نتیجه‌ی حاصل از بررسی‌های XRD تطابق خوبی داشت.

۷- با انجام عملیات حرارتی در محدوده دمای $100^\circ C$ تا $900^\circ C$ ، فرایند تبلور با تغییر فازهای نیمه-پایدار واسطه به ساختار پایدار نیکل (FCC) و ترکیب Ni_3P (BCT) همراه بود.

۸- بررسی رفتار حرارتی پوشش الکتریکی نیکل - فسفر بیان‌گر این بود که با افزایش درصد وزنی فسفر از ۱/۹۱ به ۱۲/۸۶، دمای فرایند تبلور از $409/1^\circ C$ به $328/1^\circ C$ کاهش و تغییر انتالیی از $7/74$ به $35/68$ ژول بر گرم افزایش می‌یابد.

موجود مربوط به شرایط مختلف آب‌کاری دو سری تحقیق می‌باشد [18-19]. در این تحقیق، محدوده دمای بین $300^\circ C$ تا $420^\circ C$ به‌عنوان دمای تغییر ساختار بی‌شکل به بلورین تعیین شد.

نتیجه‌گیری

۱- با استفاده از روش طراح‌ی آمون تاگوچی، تأثیر عوامل چگالی جریان، زمان، غلظت اسید فسفرو و pH بر روی میزان فسفر در پوشش بررسی شد. در میان این عوامل، غلظت اسید فسفرو به‌عنوان مؤثرترین عامل انتخاب شد. این عامل تأثیر مستقیمی بر میزان فسفر موجود در پوشش داشت.

۲- عوامل چگالی جریان، زمان و pH نسبت به غلظت اسید فسفرو تأثیر کم‌تری بر میزان فسفر در پوشش داشت. رابطه‌ی بین این عوامل و میزان فسفر معکوس به‌دست آمد.

۳- با افزایش غلظت اسید فسفرو از ۰/۵ به ۵۰ گرم بر لیتر، درصد وزنی فسفر به‌صورت لگاریتمی افزایش یافت. این افزایش در مراحل اولیه شیب تندتری داشت. نتایج به‌دست‌آمده ضریب همبستگی بالایی ($R^2=0/945$) را نشان دادند.

۴- تصویرهای میکروسکپ SEM از پوشش الکتریکی نیکل - فسفر نشان دادند که به‌ازای ۲/۵۱ درصد وزنی فسفر، ساختار کروی، پیوسته و پُربلور می‌باشد، و با افزایش مقدار فسفر به ۱۲/۸۶ درصد

مراجع

1. Peeters, P., Hoorn, G.v.d., Daenen, T., Kurowski, A., Staikov, G., "Properties of electroless and electroplated Ni-P and its application in microgalvanics", *Electrochimica Acta*, 47, pp. 161-169, (2001).
2. Veeraraghavan, B., Kim, H., Haran, B. and Popov, B. N. "Comparison of mechanical, corrosion, and hydrogen permeation properties of electroless Ni-Zn-P alloys with electrolytic Ni-Zn and Cd Coatings", *Corrosion Science Section*, 59, pp.1003,(2003).
3. Sung-Ting Ch., Chuang, Y., Chiu, Sh., Tsai, W., "Effect of H_3PO_3 concentration on the

- electrodeposition of nanocrystalline Ni-P deposited in an emulsified supercritical CO₂ bath", 102, pp. 571-577, (2011).
4. Srivastava, M., Ezhil Selvi, V., William Grips, V.K., Rajam, K.S., "Corrosion resistance and microstructure of electrodeposited nickel – cobalt alloy coatings", *Surface & Coatings Technology*, 201, pp. 3051-3060, (2006).
 5. Ordine, A.P., D'iaz, S.L., Margarit, I.C.P., Barcia, O.E., Mattos, O.R., "Electrochemical study on Ni-P electrodeposition", *Electrochimica Acta*, 51, pp. 1480-1486, (2006).
 6. Zhu, L., bin du, y., Xue, Zh., Li, Y., "Structure and anti-corrosion of tri-layer Ni-P amorphous alloy coating prepared in the same bath", *Material science forum*, pp. 546-549, (2007).
 7. Kurowski, A., Schultze, J.W., Staikov, G., "Initial stages of Ni-P electrodeposition: growth morphology", *Electrochemistry Communications*, 4, pp. 565-569, (2002).
 8. Yuan, X., Sun, D., Yu, H., Meng, H., Fan, Z., Wang, X., "Preparation of amorphous-nanocrystalline composite structured Ni-P electrodeposits", *Surface & Coatings Technology*, 202, pp. 294-300, (2007).
 9. Yuan, X., Sun, D., Yu, H., Meng, H., "Structure and mechanical properties of Ni-P electrodeposited coatings", *Applied Surface Science*, 255, pp. 3613-3617, (2009).
 10. Zhou, X., Ming Jin, H. L., Zhang, N., "Influence of pH value on microstructure and thermal stability of Ni-P electroless coating prepared in acidic condition", *Chinese Chemical Letters*, 20, pp. 845-848, (2009).
 11. Shen, Y.F., Xue, W.Y., Liu, Z.Y., Zuo, L., "Nanoscratching deformation and fracture toughness of electroless Ni-P coatings", *Surface & Coatings Technology*, 205, pp. 632-640, (2010).
 12. Chen, W., Tien, Sh., Duh, J., "Thermal stability and microstructure characterization of sputtered Ni-P and Ni-P-Cr coatings", *Surface & Coatings Technology*, 188-189, pp. 489- 494, (2004).
 13. Apachitei, I., Tichelaar, F.D., Duszczuk, J., Katgermana, L., "The effect of heat treatment on the structure and abrasive wear resistance of autocatalytic NiP and NiP-SiC coatings", *Surface and Coatings Technology*, 149, pp. 263-278, (2002).
 14. Sridharan, K., Sheppard, K., "Crystallization of amorphous iron-nickel-phosphorus alloys prepared by electrodeposition", *Journal of Materials Processing Technology*, Vol. 68, pp. 109-116, (1997).
 15. Narayan, R., Mungole, M. N., "Electrodepositing of Ni-P alloy coatings", *Surface Technology*, 24, pp. 233 - 239, (1985).
 16. Lin, Y.Ch., Duh, J., "Effect of surfactant on electrodeposited Ni-P layer as an under bump metallization", *Journal of Alloys and Compounds*, 439, pp. 74-80, (2007).
-

-
17. McMahon, G. and Erb, U., "Structural transitions in electroplated Ni-P alloys", *Journal of Materials Science Letters*, Vol. 8, No 7, pp. 865-868, (1989).
 18. Wei Zhou, X., Ming Jin, H., Zhang, L., "Influence of pH value on microstructure and thermal stability of Ni-P electroless coating prepared in acidic condition", *Chinese Chemical Letters*, 20, pp. 845-848, (2009).
 19. Braga, C., Rezende, M., Costa, M., "Methodology for DSC calibration in high heating rates", *J. Aerosp. Technol. Manag.*, São José dos Campos, Vol. 3, No. 2, pp. 179-192, (2011).
-